

FIG. 1

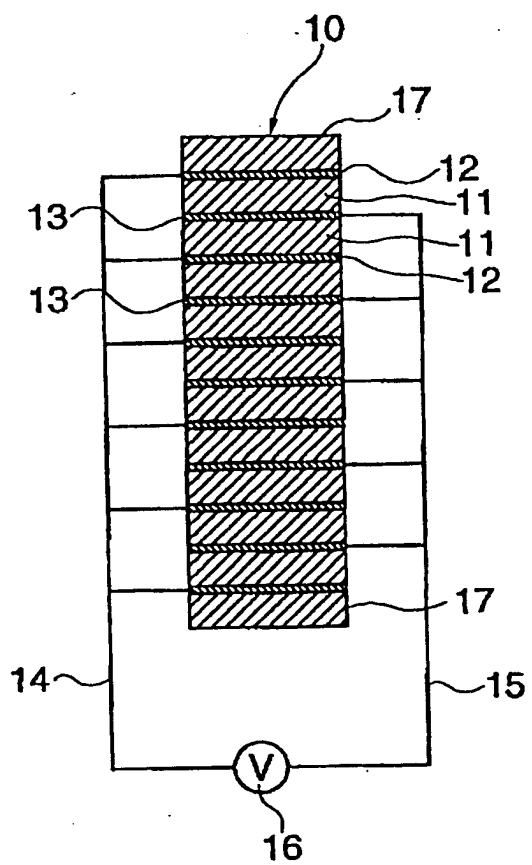
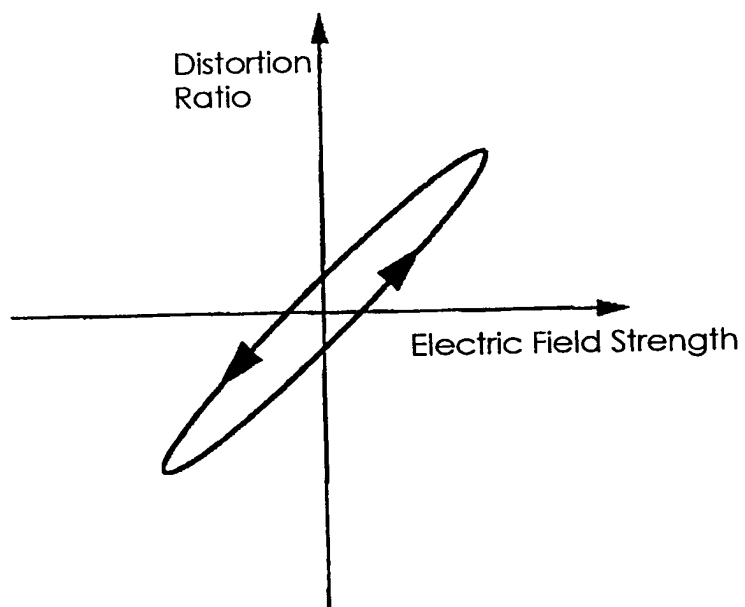
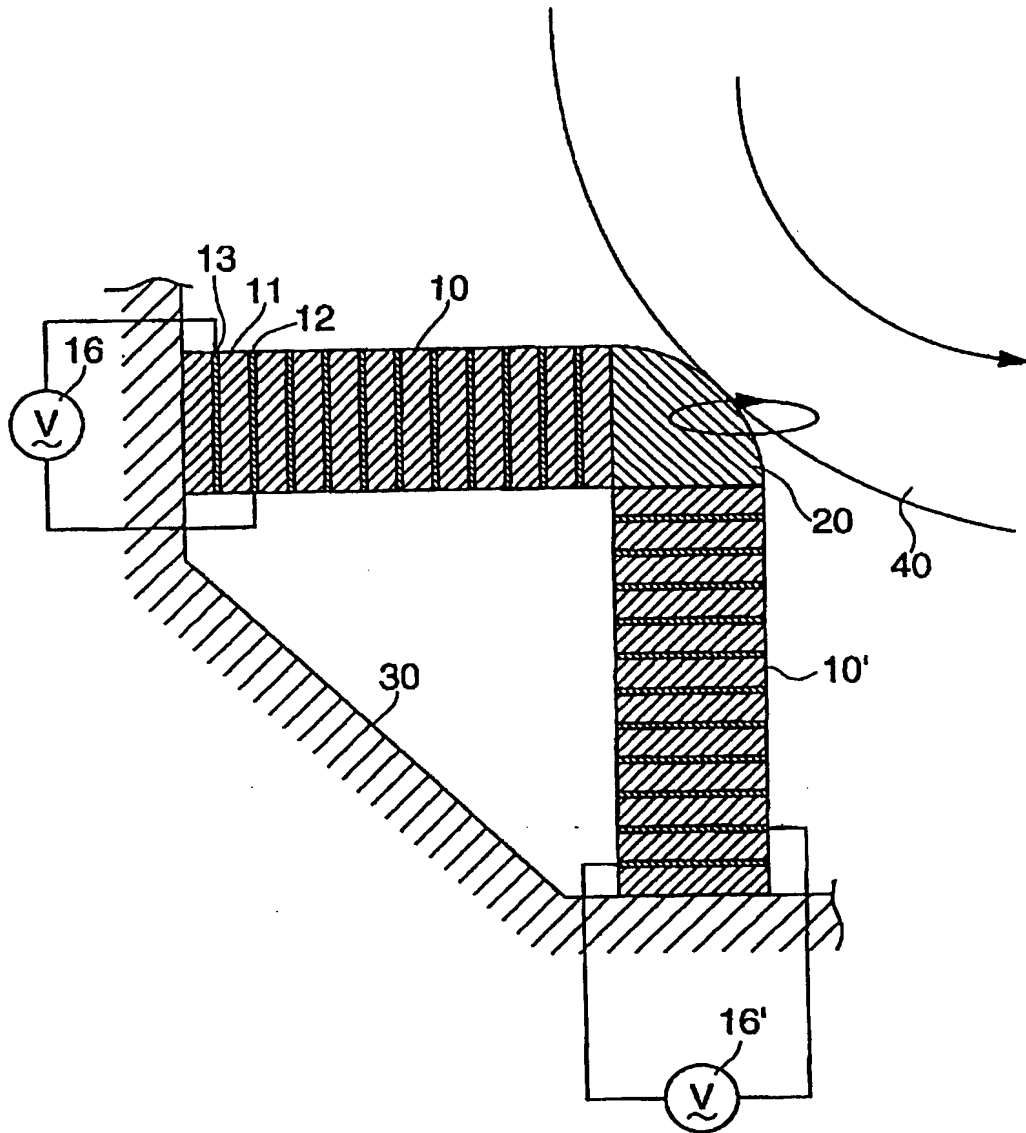


FIG. 2



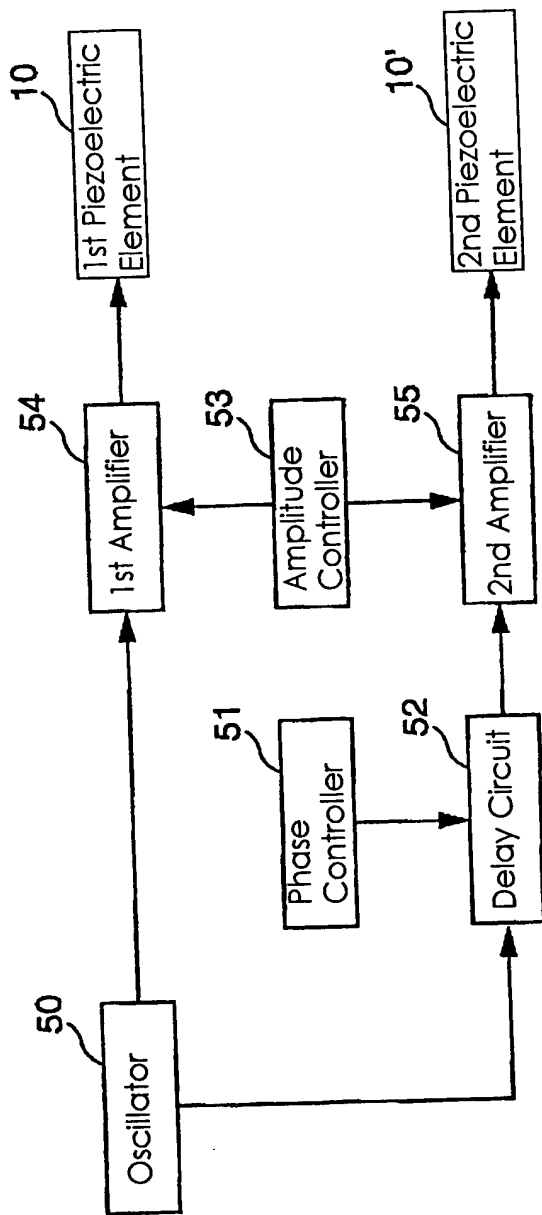
09697570-102600

FIG. 3



00920T" 02526960

FIG. 4



009207" 02526960

FIG. 5a

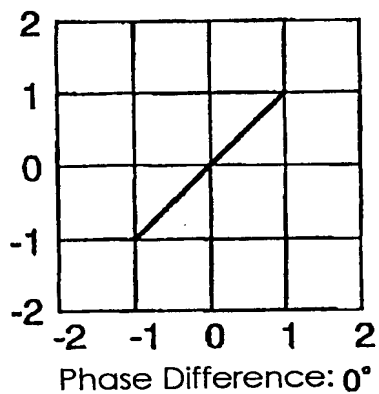


FIG. 5b

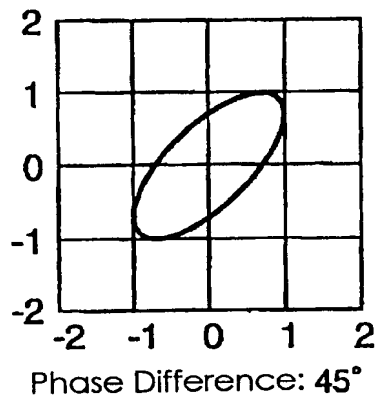


FIG. 5c

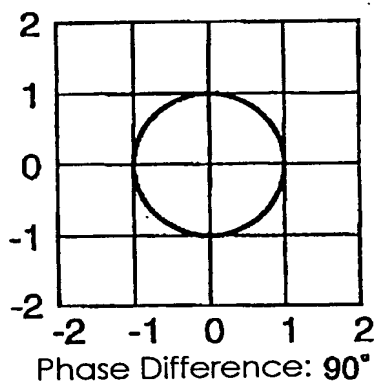


FIG. 5d

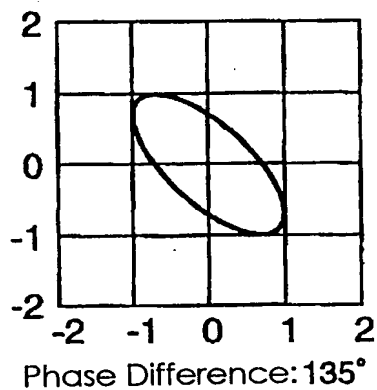


FIG. 5e

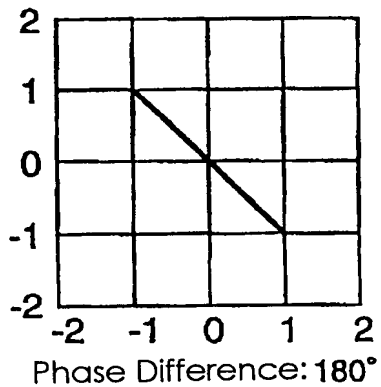


FIG. 6a

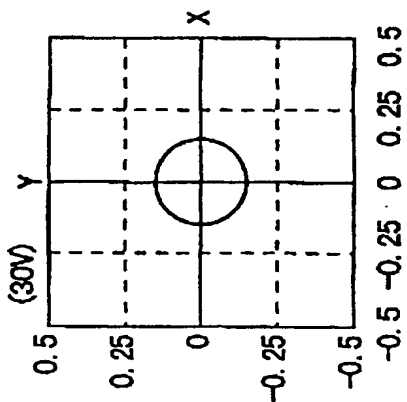


FIG. 6b

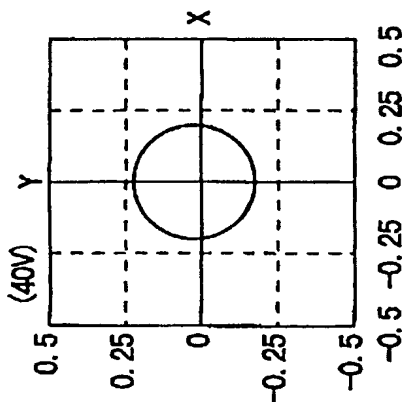


FIG. 6c

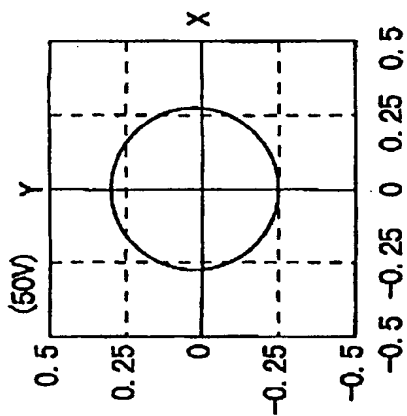


FIG. 6d

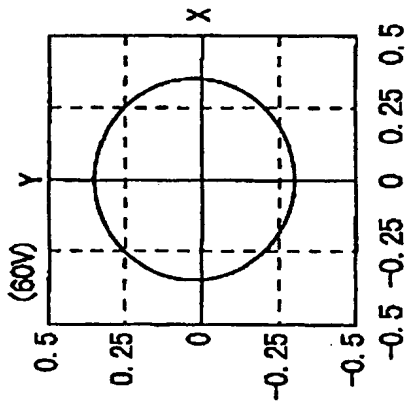


FIG. 6e

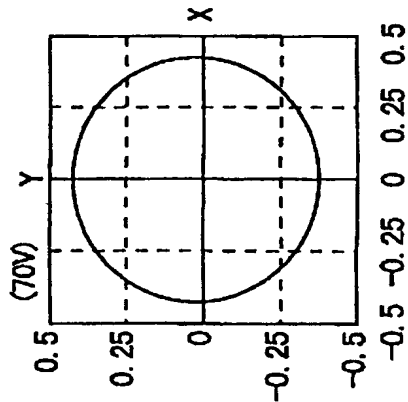


FIG. 6f

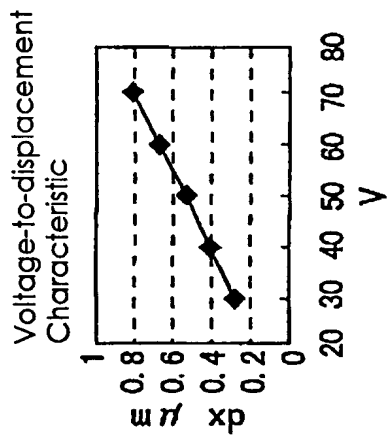


FIG. 7

Relationship between Compression Force and Contact Interval

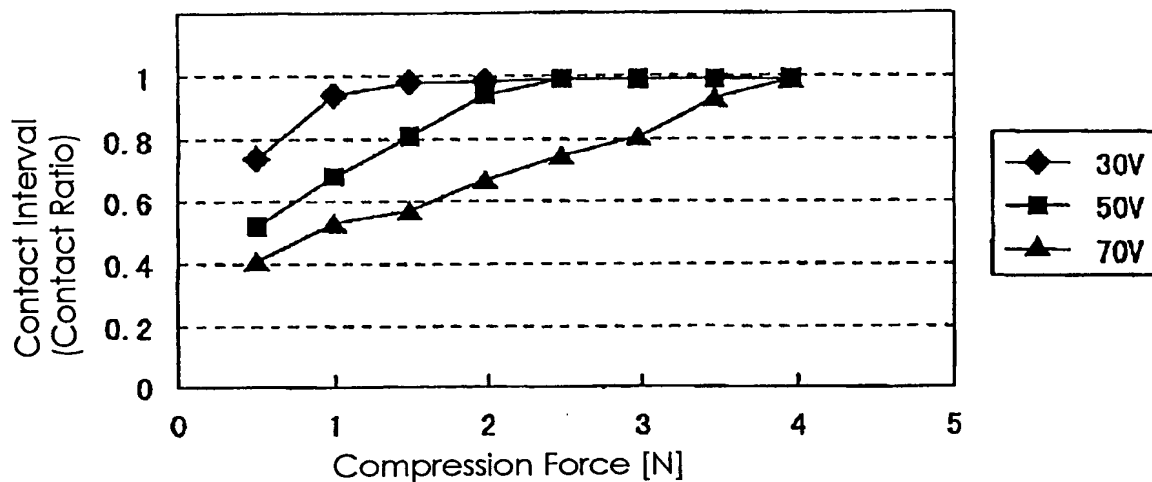


FIG. 8

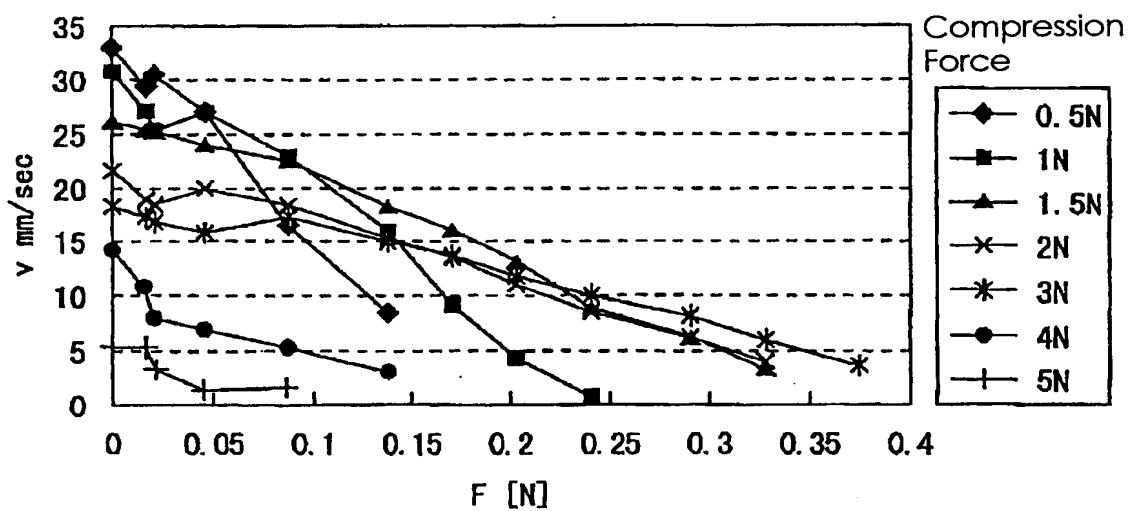


FIG. 9

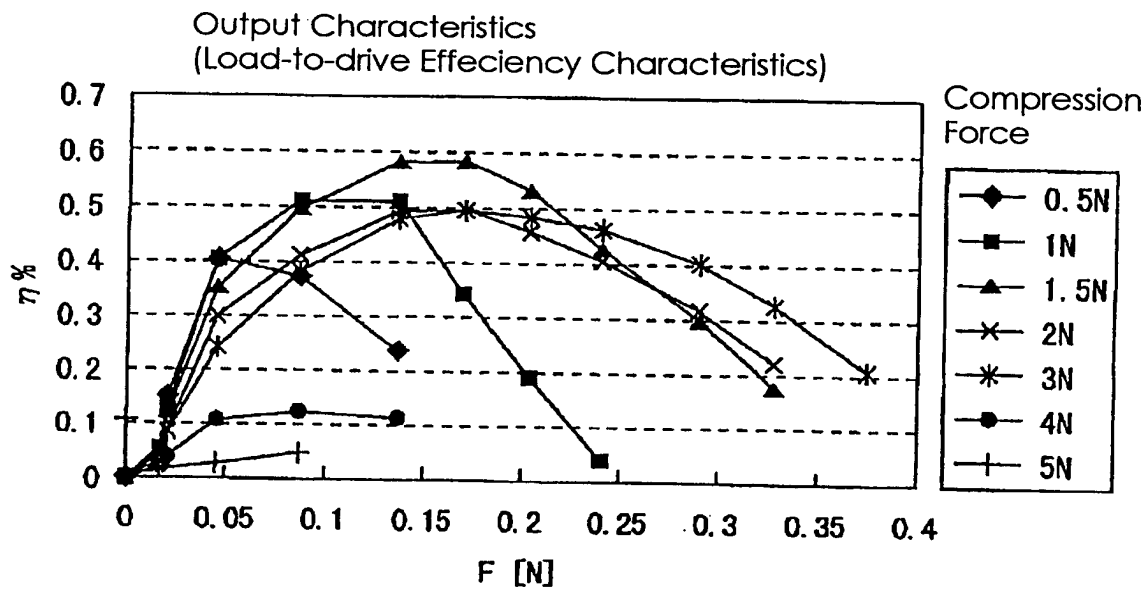
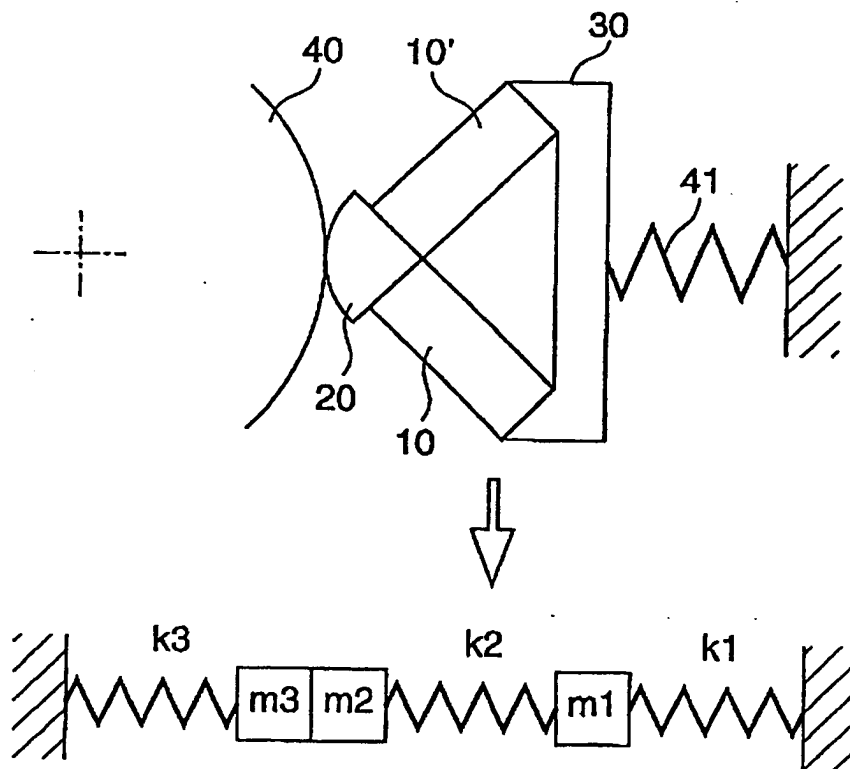


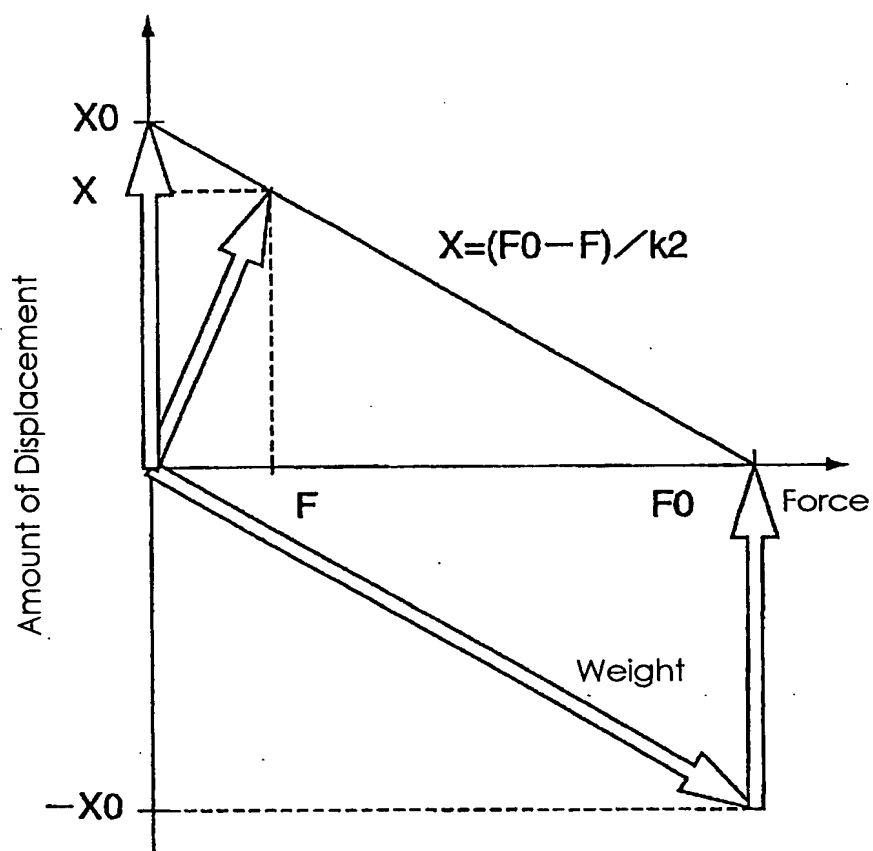
FIG. 10



009201-0254960



FIG. 11



00920T" 02526960

FIG. 12a

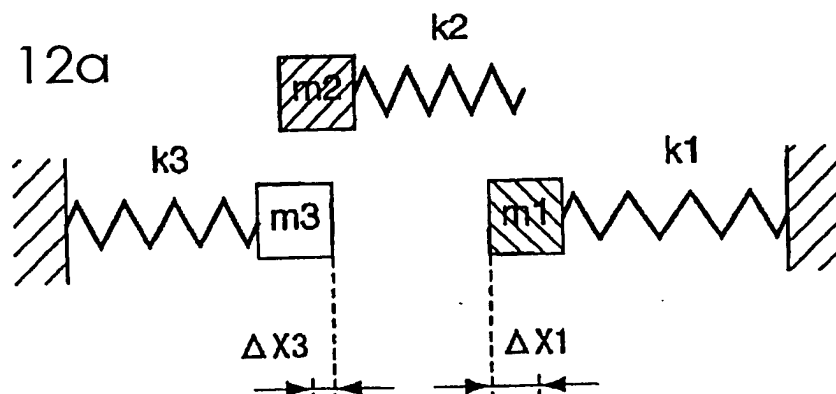


FIG. 12b

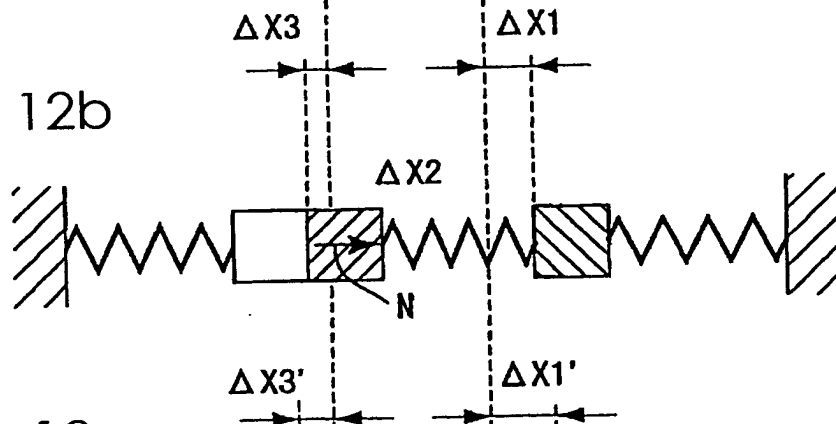


FIG. 12c

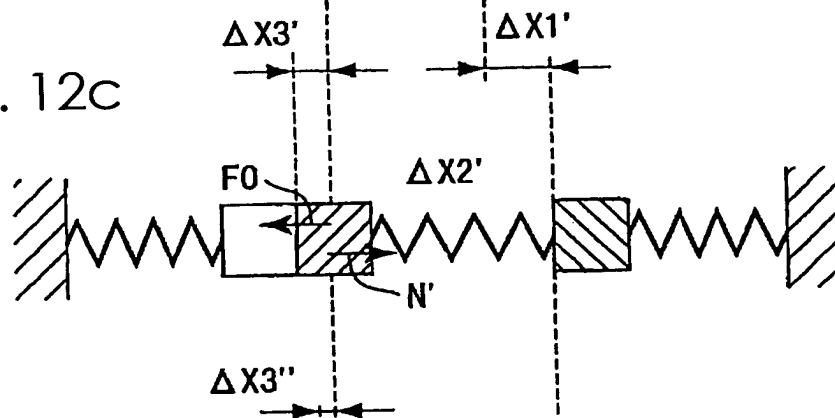
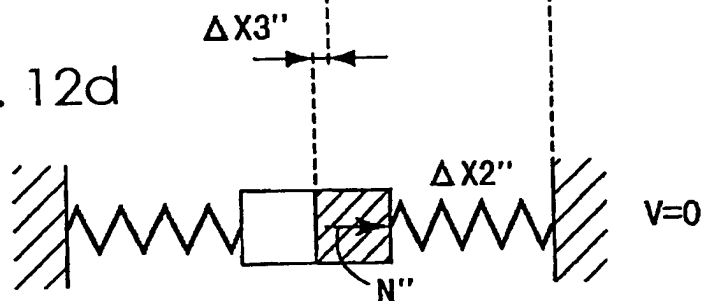
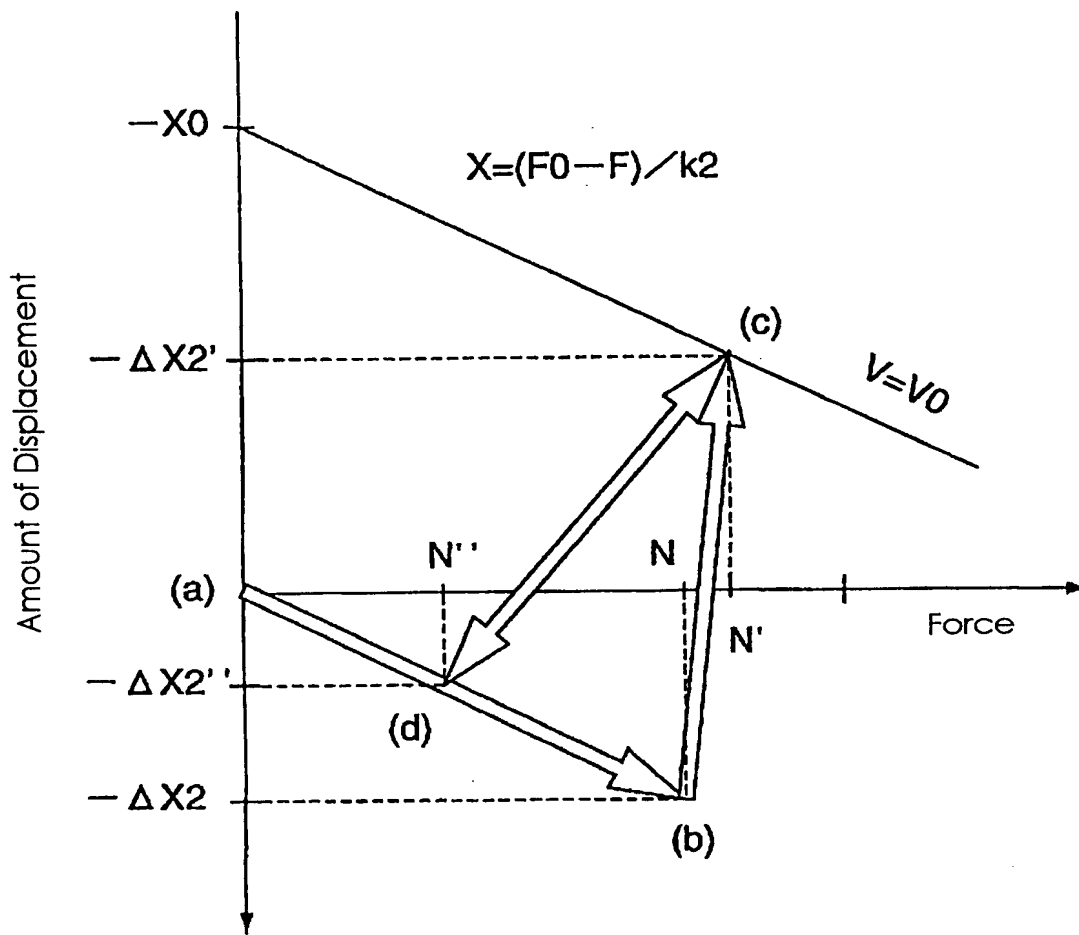


FIG. 12d



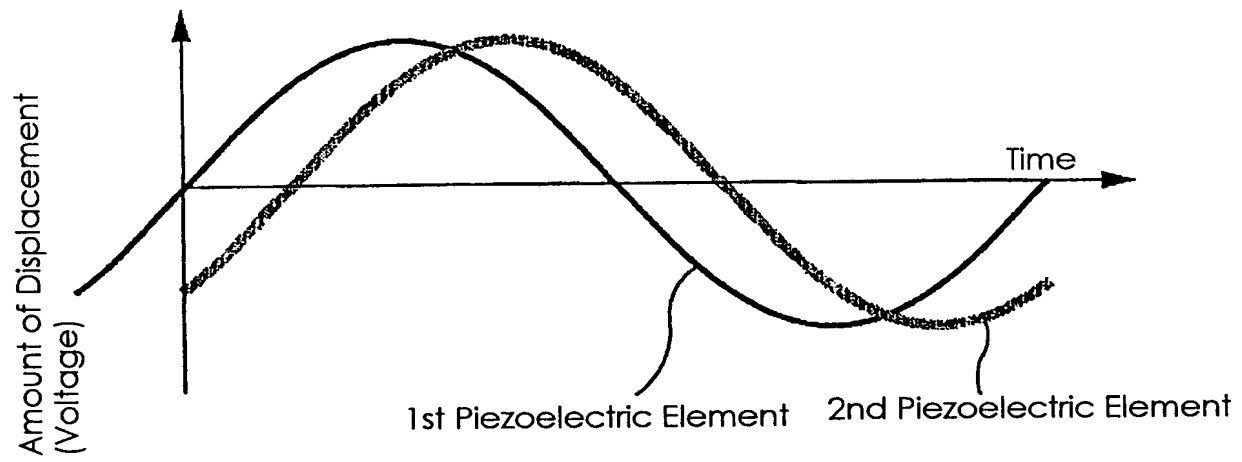
00697570-102600

FIG. 13



005201" 0256960

FIG. 14



009201" 02526960

FIG. 14

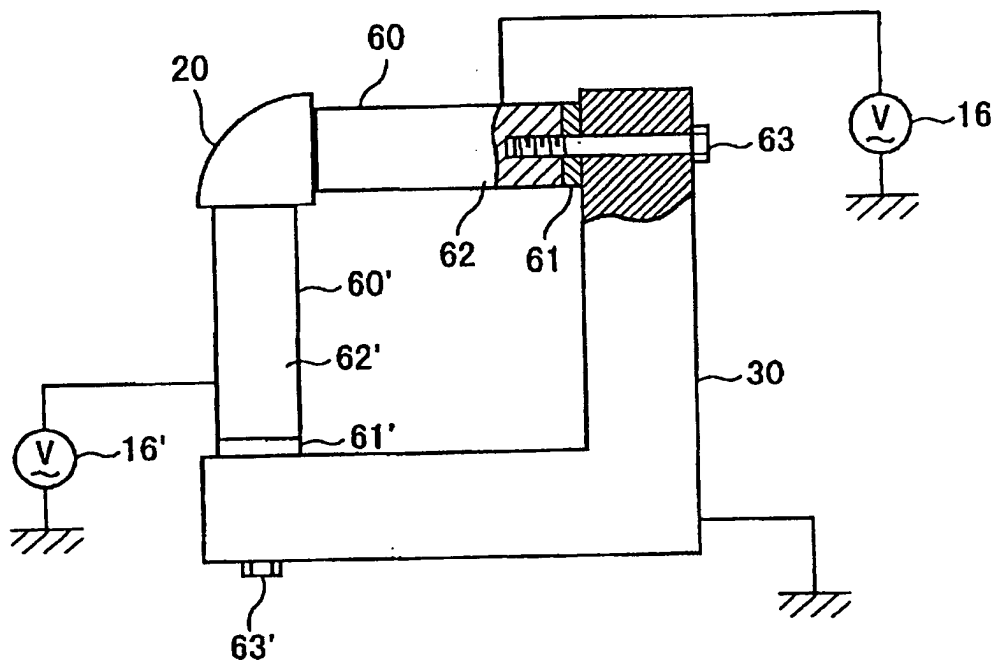
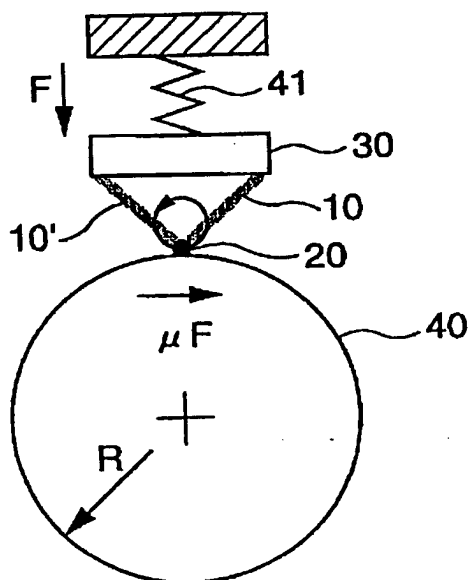


FIG. 15



009207 0454960

FIG. 17a

FIG. 17b

FIG. 17c

FIG. 17d

FIG. 17e

